

梅森公式： $P_k$ =第 k 条前向通道的增益之和； $\Delta_k$ =（所有不同回路增益之和）+（每两个互不接触回路增益乘积之和）-（每三个互不接触回路增益乘积之和）+...； $\Delta_k$ =信号流图中除去与第 k 条前向通道  $P_k$  相接触的支路和节点后余下的信号流图的特征式。

状态空间 衰减比 1

传递函数  $C(SI-A)^{-1}B+D$ , D 一般为 0。余子式求法位置转置，计算逆矩阵乘行列式。

暂态响应性能指标（二阶）上升时间  $T_r = \frac{\pi - \beta}{\omega_n \sqrt{1-\xi^2}} = \frac{\pi - \arccos \xi}{\omega_n \sqrt{1-\xi^2}}$  峰值时间  $T_p = \frac{\pi}{\omega_n \sqrt{1-\xi^2}}$  最大偏差  $y(T_p)$  超调比  $\sigma$  调节时间  $T_s$

$$F(s) = \frac{10}{(s^2 + 6s + 25)(s + 2)} = \frac{A_1}{s + 3 - j4} + \frac{A_2}{s + 3 + j4} + \frac{A_3}{s + 2}$$
$$A_1 = \lim_{s \rightarrow 3-j4} (s - 3 + j4) F(s) = \frac{10}{(s^2 + 6s + 25)(s + 2)} \Big|_{s=3-j4} = 0.303 \angle -194^\circ$$
$$\phi = A_1 \text{ 的角度} + 90^\circ = -194^\circ + 90^\circ = -104^\circ$$
$$A_3 = \lim_{s \rightarrow -2} (s + 2) F(s) = \frac{10}{(s^2 + 6s + 25)(s + 2)} \Big|_{s=-2} = 0.59$$
$$f(t) = 2|A_1|e^{-\zeta\omega_n t} \sin(\omega_d t + \phi) + A_3 e^{-\sigma t}$$
$$= 0.606 e^{-\zeta\omega_n t} \sin(4t - 104^\circ) + 0.59 e^{-2t}$$

其中： $A_{13} = \lim_{s \rightarrow s_1} (s - s_1) \frac{Y(s)}{X(s)}$   
 $A_{12} = \lim_{s \rightarrow s_1} \frac{d}{ds} [(s - s_1)^2 \frac{Y(s)}{X(s)}]$   
 $A_{11} = \lim_{s \rightarrow s_1} \frac{1}{2} \frac{d^2}{ds^2} [(s - s_1)^3 \frac{Y(s)}{X(s)}]$

主导极点：高阶系统中距离虚轴最近的极点，其实部比其他极点的实部的 1/5 还要小，并且该极点附近没有零点。

劳斯判据：系统的极点均在 s 平面的左半部分=方程的各项系数全部为正值，并且劳斯表的第一列都具有正号。

\*一项为 0：乘 (s+1) \*某行所有各项系数均为零：将上一行组成辅助方程，用求导得到的各项系数来代替为零的各项。

稳定裕度：令  $z = s - \sigma$ ，判断根位于  $s = -\sigma$  的左边。

频带宽度  $\omega_b = \omega_n \sqrt{1 - 2\xi^2 + \sqrt{2 - 4\xi^2 + 4\xi^4}}$

为了求出  $\omega_b$ ，对  $\omega_n^2$  求导，得： $\frac{dH(s)}{ds} = 4s + 12$

将上式中的各项系数作为  $s^2$  行的各项系数，得劳斯表为：

$s^2$	1	8	20	16
$s^1$	2	12	16	0
$s^0$	1	6	8	
$s^3$	4	12		
$s^2$	3	8		
$s^1$	4/3			
$s^0$	8			

从左表的第一列可以看出，各项符号没有改变，因此可以确定在右半平面没有极点。另外，由于  $s^2$  行的各项皆为零，这表示有共轭虚数极点。这些极点可由辅助方程求出。

辅助方程是： $s^2 + 6s + 8 = 0$

求得大小相等符号相反的虚数极点为： $s = \pm j2$

在这个系统中，输入量  $R(s)$  和输出量  $C(s)$  之间，只有一条前向通道。前向通道的增益为： $P_1 = G_1 G_2 G_3$

没有不接触的回路，特征式  $\Delta$  为： $\Delta = 1 - \sum L_i = 1 - (L_1 + L_2 + L_3)$

因此，输入量  $R(s)$  和输出量  $C(s)$  之间的总增益，或闭环传递函数为： $\frac{C(s)}{R(s)} = P = \frac{P_1}{\Delta} = \frac{G_1 G_2 G_3}{1 - G_1 G_2 H_1 + G_1 G_2 H_2 + G_1 G_2 G_3}$

静态误差  $e_{ss}$ ： $e(t) = r(t) - z(t)$ , L.T. 为  $E(S) = R(S) - Z(S)$ 。系统稳定情况下，终值定理可求  $e_{ss}$ 。

根轨迹相角条件和幅值条件： $|G(s)H(s)| = 1$ , 同时  $\angle G(s)H(s) = \pm (2k+1)\pi$ 。

1	根轨迹的连续性和对称性	根轨迹是连续的，且对称于实轴	6	根轨迹的分叉点（或会合点）	根轨迹的分叉点（或会合点）必须满足方程式： $\frac{dK}{ds} = 0$
2	根轨迹的起点和终点	根轨迹的 $n$ 条分支从 $n$ 个开环极点出发，其中 $m$ 条最终趋向 $m$ 个开环零点，另外 $n-m$ 条趋向无穷远处	7	根轨迹的出射角和入射角	出射角： $\varphi_p = \pm 180^\circ (2k+1) + \sum_{i=1}^m \angle_i - \sum_{j=1}^n \theta_j$ 入射角： $\varphi_z = \pm 180^\circ (2k+1) + \sum_{j=1}^n \theta_j - \sum_{i=1}^m \angle_i$
3	实轴上的根轨迹	在实轴上的线段上存在根轨迹的条件是：其右边开环零、极点数目之和为奇数	8	根轨迹与虚轴的交点	1) 劳斯判据求临界稳定时的特征根 2) 用 $s = j\omega$ 代入特征方程式，求 $\omega$
4	根轨迹渐近线的相角	$n-m$ 条渐近线的相角为： $\frac{\pm 180^\circ (2k+1)}{n-m}$			
5	根轨迹渐近线的交点	$n-m$ 条渐近线交点的坐标为： $-\sigma_a = \frac{\sum_{i=1}^n (-p_i) - \sum_{j=1}^m (-z_j)}{n-m}$			

广义根轨迹（参数和正反馈）

幅频特性  $|G(j\omega)| = \frac{1}{\sqrt{1 + 2\xi^2 \frac{\omega^2}{\omega_n^2} + \frac{\omega^4}{\omega_n^4}}}$

波特图  $\angle G(j\omega) = \angle [G(s)H(s)]_{s=j\omega}$

0 型：低频段的渐近线斜率为 0dB/dec，高度为 20lgKp。

1 型：低频延长线与 0dB 线交点 K1，在  $\omega=1$  处的读数为 20lgK1。

2 型：低频部分斜率 -40dB/dec 的斜线，与 0dB 线交点  $\sqrt{K2}$ ，在  $\omega=1$  处的读数为 20lgK2。

奈奎斯特稳定判据：圈数  $N = PR - ZR$ , PR 已知，N 求法：在  $-1+j0$  点画一条射线，沿着射出方向左到右穿过为负（顺时针），右到左穿过为正。加和即为 N。ZR=0 时系统稳定。

稳定裕度 截止频率  $\omega_c$  满足  $|G(j\omega_c)H(j\omega_c)| = 1$ ，相位裕度  $\gamma = 180^\circ + \angle G(j\omega_c)H(j\omega_c)$  一般  $45^\circ$  到  $60^\circ$

幅值裕度 穿越频率  $\omega_x$   $\angle G(j\omega_x)H(j\omega_x) = (2k+1)\pi$ 。幅值裕度  $h = 1/(|G(j\omega_x)H(j\omega_x)|)$

当  $0 \leq \xi \leq \frac{1}{\sqrt{2}}$  时，系统有谐振产生，其谐振峰值分别为： $M_r = \frac{1}{2\xi\sqrt{1-\xi^2}}$

$\xi = \sqrt{\frac{1 - \sqrt{1 - 1/M_r^2}}{2}}$

系统型别：

系统型别	前馈输入 $B(s)$	前馈输入 $B(s)$	前馈输入 $B(s)$	前馈输入 $B(s)$
0	$K_c$	0	0	$K_c/(1+K_c)$
I	0	$K_v$	0	$K_v/K_c$
II	0	0	$K_a$	0

振荡环节奈氏图的低频段和高频段分别为： $\lim_{\omega \rightarrow 0} G(j\omega) = 1 \angle 0^\circ$   
 $\lim_{\omega \rightarrow \infty} G(j\omega) = 0 \angle -180^\circ$   
 $\omega = \omega_c$  时  $G(j\omega) = \frac{1}{j2\xi}$  其相角为  $-90^\circ$

时间函数 变换后

$1 - e^{-at}$	$\frac{a}{s(s+a)}$	$e^{-at} \sin \omega t$	$\frac{\omega}{(s+a)^2 + \omega^2}$	$\frac{t^n}{n!}$	$\frac{1}{s^{n+1}}$
$e^{-at} - e^{-bt}$	$\frac{s-a}{(s+a)(s+b)}$	$e^{-at} \cos \omega t$	$\frac{s-a}{(s+a)^2 + \omega^2}$	$e^{-at}$	$\frac{1}{s+a}$
$\sin \omega t$	$\frac{\omega}{s^2 + \omega^2}$	$t^n$	$\frac{1}{(s+1)^{n+1}}$	$t^n e^{-at}$	$\frac{1}{(s+a)^{n+1}}$

II 型系统

0 型系统

I 型系统

当  $0 \leq \xi \leq \frac{1}{\sqrt{2}}$  时，系统有谐振产生，其谐振峰值分别为： $M_r = \frac{1}{2\xi\sqrt{1-\xi^2}}$

$\xi = \sqrt{\frac{1 - \sqrt{1 - 1/M_r^2}}{2}}$

时间函数 变换后

$1 - e^{-at}$	$\frac{a}{s(s+a)}$	$e^{-at} \sin \omega t$	$\frac{\omega}{(s+a)^2 + \omega^2}$	$\frac{t^n}{n!}$	$\frac{1}{s^{n+1}}$
$e^{-at} - e^{-bt}$	$\frac{s-a}{(s+a)(s+b)}$	$e^{-at} \cos \omega t$	$\frac{s-a}{(s+a)^2 + \omega^2}$	$e^{-at}$	$\frac{1}{s+a}$
$\sin \omega t$	$\frac{\omega}{s^2 + \omega^2}$	$t^n$	$\frac{1}{(s+1)^{n+1}}$	$t^n e^{-at}$	$\frac{1}{(s+a)^{n+1}}$

设系统的微分方程式为  $\ddot{y} + 28\dot{y} + 196y = 360\dot{u} + 440u$

传递函数: 状态方程与输出方程; 状态变量图。

(1) 传递函数:  $G(s) = \frac{360s + 440}{s^2 - 28s + 196}$

(2)  $\dot{x} = Ax + bu = \begin{bmatrix} 0 & 1 & 0 \\ 0 & 0 & 1 \\ -740 & -196 & -28 \end{bmatrix} x + \begin{bmatrix} 0 \\ 0 \\ 1 \end{bmatrix} u$

(3)  $y = Cx + Du = \begin{bmatrix} 360 & 0 & 0 \\ 440 & 0 & 0 \end{bmatrix} x + \begin{bmatrix} 0 \\ 0 \end{bmatrix} u$

$L^{-1}[\frac{s + \alpha_0}{(s + \alpha)^2 + \omega^2}] = \frac{1}{\omega} \sqrt{\omega^2 + (\alpha_0 - \alpha)^2} \cdot e^{-\alpha t} \sin(\omega t + \varphi) \quad \varphi = \text{tg}^{-1}(\frac{\omega}{\alpha_0 - \alpha})$

$\begin{bmatrix} s^2 & 52.5 & 200 + K \\ s & 7995 - 12K & 0 \\ s^0 & 200K & 0 \end{bmatrix}$  求开环放大系数

$K = 666.25$  时系统振荡。

由  $52.5s^2 + (200 + 666.25)s = 0$  得一对虚根为  $\pm j\sqrt{16.5}$ , 振荡频率为  $\sqrt{16.5}$

$G(s) = \frac{K^*}{s(s+1)(s+3.5)(s+3+j2)(s+3-j2)}$  的闭环根轨迹图

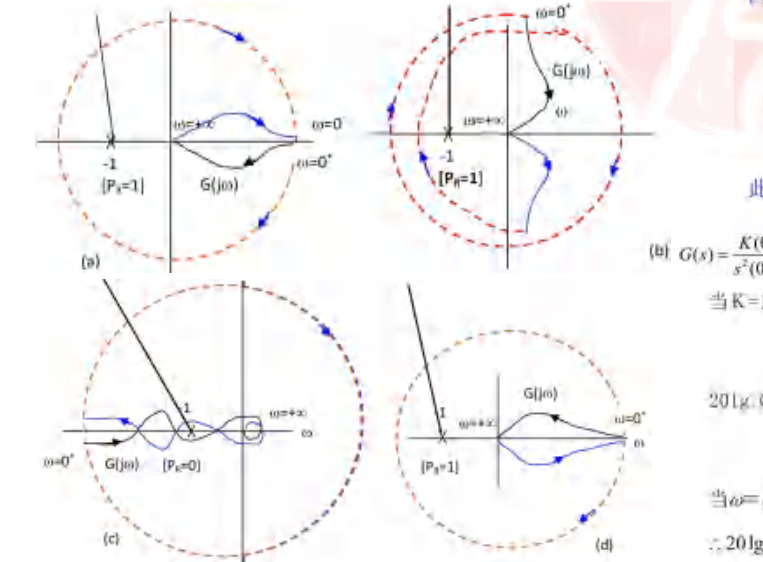
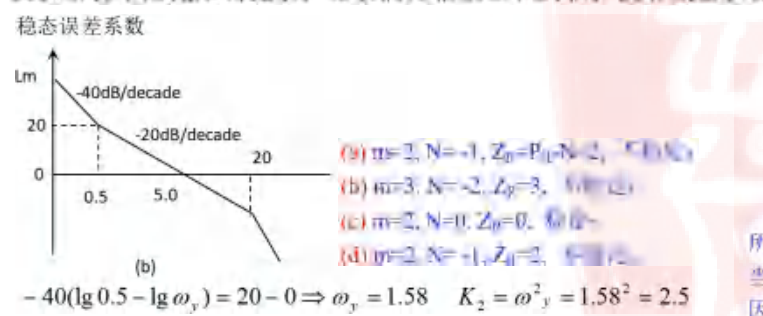
- (3) 根轨迹渐近线有  $n-m=5$  条, 根轨迹渐近线与实轴的交点为:  $\sigma_a = \frac{1}{5} \sum_{i=1}^5 p_i = -2.1$ , 与实轴的交角为:  $\varphi_a = \frac{(2k+1)\pi}{n-m} = \frac{(2k+1)\pi}{5} = \pm 36^\circ, \pm 108^\circ, 180^\circ$
- (4) 根轨迹的分离点方程:  $\frac{1}{d} + \frac{1}{d+1} + \frac{1}{d+3.5} + \frac{1}{d+3+j2} + \frac{1}{d+3-j2} = 0$ , 分离点为:  $d \approx -0.4$ , 分离角为:  $\frac{(2k+1)\pi}{l} = \pm \frac{\pi}{2}$
- (5) 根轨迹的起始角:  $\theta_{p3} = 180^\circ + (-\sum_{j=1}^5 \angle(p_i - p_j)) = 180^\circ - (146^\circ + 136^\circ + 76^\circ + 90^\circ) = -268^\circ, \theta_{p5} = 268^\circ$

(6) 根轨迹与虚轴的交点: 系统闭环特征方程为  $D(s) = s^5 + 10.5s^4 + 43.5s^3 + 79.5s^2 + 45.5s + K^* = 0$

将  $s = j\omega$  代入, 并使  $\text{Re}[D(j\omega)] = 0, \text{Im}[D(j\omega)] = 0$

要使系统稳定, 闭环极点必须在左半平面。

要使系统不出现超调现象, 必须满足根轨迹在实轴, 没有复数极点。



注意函数最高项系数化成 1。非线性/线性(无常数项, 微分方程, 最高次为 1)、时变/时不变(微分差分方程系数为常数)、动态/静态(无求导项)

(1)  $c(t) = 5 + t^2(t) + t \frac{d^2 r(t)}{dt^2}$

(2)  $\frac{d^2 c(t)}{dt^2} + 3 \frac{d^2 c(t)}{dt^2} + 6 \frac{dc(t)}{dt} + 8c(t) = r(t)$

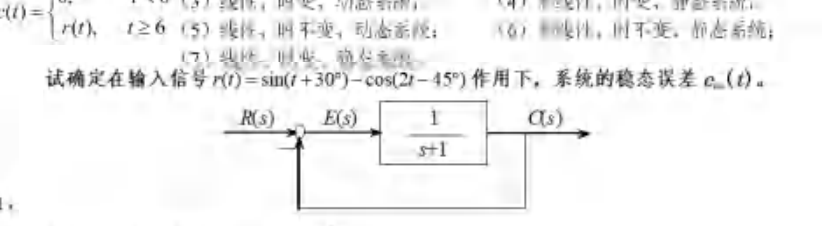
(3)  $t \frac{dc(t)}{dt} + c(t) = r(t) + 3 \frac{dr(t)}{dt}$

(4)  $c(t) = r(t) \cos \omega t + 5$

(5)  $c(t) = 3r(t) + 6 \frac{dr(t)}{dt} + 5 \int_0^t r(\tau) d\tau$

(6)  $c(t) = r^2(t)$

(7)  $c(t) = \begin{cases} 0, & t < 6 \\ r(t), & t \geq 6 \end{cases}$



系统的闭环传递函数:  $\Phi(s) = \frac{1}{s+2}$

系统的频率特性为:  $\Phi(j\omega) = \frac{1}{2 + j\omega} = \frac{1}{\sqrt{4 + \omega^2}} e^{-j \arctg \frac{\omega}{2}}$

系统在输入信号  $r(t)$  的作用下, 系统的稳态输出为:

$$c_{ss}(t) = \frac{1}{\sqrt{5}} \sin\left(t + 30^\circ - \arctg \frac{1}{2}\right) - \frac{1}{2\sqrt{2}} \cos(2t - 45^\circ - \arctg 1)$$

$$= \frac{1}{\sqrt{5}} \sin\left(t + 30^\circ - \arctg \frac{1}{2}\right) - \frac{1}{2\sqrt{2}} \sin(2t)$$

系统的稳态误差:

$$e_{ss}(t) = r(t) - c_{ss}(t)$$

$$= \sin(t + 30^\circ) - \cos(2t - 45^\circ) - \frac{1}{\sqrt{5}} \sin\left(t + 30^\circ - \arctg \frac{1}{2}\right) + \frac{1}{2\sqrt{2}} \sin(2t)$$

$$= \frac{\sqrt{10}}{5} \sin\left(t + 30^\circ + \arctg \frac{1}{3}\right) - \frac{\sqrt{10}}{4} \cos(2t - 45^\circ + \arctg \frac{1}{3})$$

$$= 0.632 \sin(t + 48.435^\circ) - 0.79 \cos(2t - 26.565^\circ)$$

系统的幅频特性为:  $A(\omega) = \frac{1}{\sqrt{1 + 2\omega^2 T^2 + \omega^4 T^4}}$

系统的相频特性为:  $\varphi(\omega) = -\arctg \omega T - \arctg \omega T = -2 \arctg \omega T$

所以  $\varphi(\omega_x) = -90^\circ - \arctg \omega_x T - \arctg \omega_x T = -(2k+1) \times 180^\circ$

当  $\omega$  增大时,  $A(\omega)$  减小, 而在频率  $\omega$  为最小的  $\omega_{xm}$  时, 开环幅相曲线第一次穿过负实轴因此:

$$\varphi(\omega_{xm}) = -90^\circ - \arctg \omega_{xm} T - \arctg \omega_{xm} T = -180^\circ$$

$$\frac{\omega_{xm} T + \omega_{xm} T}{1 - \omega_{xm}^2 T^2} = \text{tg} 90^\circ = \infty$$

$$\omega_{xm} = \sqrt{\frac{1}{T}}$$

此时  $A(\omega_{xm})$  达到最大, 为使  $t=0, A(\omega_{xm}) < 1$ , 即

(b)  $G(s) = \frac{K(0.2s+1)}{s^2(0.02s+1)}$   $A(\omega_{xm}) = \frac{K}{\omega_{xm} \sqrt{1 + (\omega_{xm} T)^2} \sqrt{1 + \omega_{xm}^2}} = \frac{KT}{T+1} < 1$

当  $K=1$  时, 由其幅频特性渐近线可得: 其幅频关系为

$$20 \lg \left| \frac{1}{\omega^2} \right| \quad \omega < 5$$

$$20 \lg |G(j\omega)| = 20 \lg \left| \frac{0.2}{\omega} \right| \quad 5 \leq \omega < 50$$

$$20 \lg \left| \frac{10}{\omega^2} \right| \quad 50 \leq \omega$$

当  $\omega = \omega_x$  时, 应有  $20 \lg |G(j\omega_x)| = 0$

$\therefore 20 \lg \left| \frac{1}{\omega} \right| = 0$ , 既有  $\omega_x = 1$

此时相角为:  $\arg[G(j\omega_x)] = -180^\circ + \arctan(0.2) - \arctan(0.02) = -169.8^\circ$